基于 Fourier 神经网络的图像复原算法 *

田启川, 田茂新

(太原科技大学 电子信息工程学院,太原 030024)

摘 要:由于退化图像的点扩散函数难以准确确定,提出一种基于 Fourier 正交基函数的前向神经网络图像复原模型,该模型以一组 Fourier 正交基为隐层神经元的激励函数,根据误差传递算法进行权值修正,达到收敛目标。给出 Fourier 神经网络及其相应的衍生算法的图像恢复实现步骤。实验表明,该方法能较好地实现图像的复原。

关键词:图像复原;傅里叶正交基函数;傅里叶神经网络;衍生算法

中图分类号: TP391 文献标志码: A 文章编号: 1001-3695(2012)03-1143-03

doi:10.3969/j.issn.1001-3695.2012.03.094

Image restoration algorithm based on Fourier neural network

TIAN Qi-chuan, TIAN Mao-xin

(College of Electronic & Information Engineering , Taiyuan University of Science & Technology , Taiyuan 030024 , China)

Abstract: According to the fact that PSF (point spread function) of the degraded image can't obtain accurately, this paper constructed a feed-forward neural network for image restoration based on the Fourier orthogonal function. The hidden-layer neurons were activated by a series of Fourier orthogonal functions, updated its weight by the error back-propagation training algorithm and finally reached convergence target. This paper applied the Fourier neural network and its hidden-neuron growing algorithm to recover the fuzzy image. Experiments show they have better performances on image restoration.

Key words: image restoration; Fourier orthogonal function; Fourier neural network; hidden-neuron growing algorithm

图像的复原是图像处理的一个重要分支,在图像的获取、 传送、转换及传输过程中,都会造成图像的退化,而在众多的应 用领域中,又需要清晰、高质量的图像,因此图像复原具有重要 的意义。图像的退化模型如下:

$$g(x,y) = H[f(x,y)] + n \tag{1}$$

原始图像 f(x,y) 经过一个点扩散函数 H 的作用后形成退化图像 g(x,y), 图像复原的目的就是获得关于原始图像的近似估计 f'(x,y)。现实中,点扩散函数复杂多样。传统的滤波方法^[1] 很难得到准确的点扩散函数,复原时存在困难。

近年来,神经网络在图像复原领域中得到广泛应用^[2],用于图像复原的神经网络模型也越来越多。前向神经网络由于能学习大量的输入与输出之间的非线性映射关系,其固有的自学习、自适应性、鲁棒性和推广能力,使其在图像复原领域得到很好的运用,同时由于神经网络在并行处理及大容量计算方面存在巨大潜能,因此被用于解决图像处理领域内的多种问题。但是现阶段用于图像复原的神经网络模型运算量大、收敛慢、容易陷于局部最小值。

1 Fourier 理论基础及网络模型

1.1 Fourier 正交多项式

要建立 Fourier 神经网络图像复原模型,首先要了解 Fourier 三角基函数^[4,5]的定义。

定义 1 周期为 2π 的函数 f(x), 若能展开成三角级数:

$$f(x) \to \frac{a_0}{2} + \sum_{k=1}^{\infty} a_k \cos(kx) + b_k \sin(kx)$$
 (2)

则称为函数f(x)的傅里叶级数,其中 a_k 、 b_k 称为傅里叶系数。 理论上有

$$a_k = \frac{1}{\pi} \int_{-\pi}^{\pi} f(x) \cos(kx) \, dx; k = 0, 1, 2, 3, \dots$$
 (3)

$$b_k = \frac{1}{\pi} \int_{-\pi}^{\pi} f(x) \sin(kx) dx; k = 0, 1, 2, 3, \dots$$
 (4)

定理 1 若 f(x) 在 (-l,l) 内逐段连续并有逐段连续的导数,且一切不连续点 ξ 是正则的,及 $f(\xi) = [f(\xi_-) + f(\xi_+)]/2$,则 f(x) 可展开成傅里叶级数:

$$f(x) = \frac{a_0}{2} + \sum_{k=1}^{\infty} a_k \cos(\frac{k\pi x}{l}) + b_k \sin(\frac{k\pi x}{l})$$
 (5)

$$\overrightarrow{x}$$
: $a_k = \frac{1}{l} \int_{-l}^{l} f(x) \cos(\frac{k\pi x}{l}) dx; k = 0, 1, 2, 3, \cdots$ (6)

$$b_k = \frac{1}{l} \int_{-l}^{l} f(x) \sin(\frac{k\pi x}{l}) dx; k = 0, 1, 2, 3, \dots$$
 (7)

1.2 Fourier 神经网络建模

Fourier 神经网络的输入/输出层神经元采用线性激励函数,隐层神经元的激励函数为一组傅里叶三角基函数:

$$\{1, \cos\frac{\pi x}{l}, \sin\frac{\pi x}{l}, \cos\frac{2\pi x}{l}, \sin\frac{2\pi x}{l}, \cdots, \\ \cos\frac{n\pi x}{l}, \sin\frac{n\pi x}{l}\}, x \in (-l, l)$$
(8)

输入层至隐层神经元的连接权值恒为 1, 傅里叶系数 a_0 , a_i , a_k ($i=1,2,\cdots,n$) 作为隐层神经元到输出层神经元的连接

收稿日期: 2011-07-24; **修回日期**: 2011-09-16 **基金项目**: 山西省自然科学基金资助项目(2008011030);山西省回国留学人员科研资助项目(2011-075);太原市大学生创新创业专项项目(2010,2011);太原科技大学校 UIT 项目(XJ2010040)

作者简介: 田启川(1971-),男,山西孝义人,副教授,博士(后),主要研究方向为模式识别、图像处理及生物特征识别(tianqichuan@163.com); 田茂新(1987-),女,贵州金沙人,硕士研究生,主要研究方向为图像处理、模式识别. 权值。文献[6.7]中介绍了 Fourier 神经网络的权值确定,该 Fourier 神经网络的输出特性正是式(5)的部分和。故定理1 在理论上证明了 Fourier 神经网络具有良好的逼近能力[7],隐 层神经元的个数恰为 2n+1. 即式(8) 中基函数个数。

本文中基于 Fourier 正交基的神经网络为前向型神经网 络,文献[8,9]中对它的应用作了介绍。如图1所示,采用误 差传递算法(error back-propagation training)训练。其隐层神经 元输出为式(8) 定义的 Fourier 基函数值:

$$T_{i}(x) = \begin{cases} 1 & i = 0 \\ \dots & \\ \cos\left(\frac{i+1}{2} \frac{\pi x}{l}\right) & i = 1, 3, 5, \dots \\ \sin\left(\frac{i}{2} \frac{\pi x}{l}\right) & i = 2, 4, 6, \dots \end{cases}$$

$$(9)$$

传统的人工神经网络一般要先设定网络层数及隐层神经 元数目,因此网络无法自适应调整。在前向神经网络中,网络 的最佳拓扑结构一直是一个最受关注的热点。输入层到输出 层的个数可以根据实际运用需要选择,易于确定,而隐层神经 元数目的选取比较难,但其又直接影响神经网络的拓扑结构和 网络性能。神经元数过少,网络的性能难以满足实际的需求: 隐层神经元数目过多,又可能使网络结构过分冗余。由此提出 了 Fourier 神经网络的衍生算法[10]。具体做法为:先任取较少 的n个神经元作为初始神经元,当学习k次后误差不再发生变 化且 $E(k) = E(k-1) > \varepsilon(\varepsilon)$ 为预先设定好的精度)时,网络自 动衍生,即增加隐层神经元数目, $n \leftarrow n + 2$,重复这一过程,直到 $E \leq \varepsilon$ 时才停止衍生和学习,此时的隐层神经元个数即为网络最 佳拓扑结构下的隐层神经元个数,神经网络处于最佳拓扑状态。

Fourier 神经网络图像复原算法实现

2.1 Fourier 神经网络

对于 Fourier 神经网络,其用于图像复原算法如下:

输入层:
$$o = x$$
 (10)

隐层神经元输入:
$$net_i = 0$$
 (11)

输出层:
$$y = a_0 T_0 + \sum_{i=0}^{n} a_i T_{j1} + b_j T_{j2}$$
 (12)

网络的输出 γ 目标值 f(x) 的误差记为

$$e_i = f(x_i) - y_i; i = 1, 2, \dots, m$$
 (13)

网络训练目标为
$$E = \frac{1}{2} \sum_{i=1}^{m} e_i^2$$
 (14)

m 为样本数,采用 BP 学习算法进行权值修正:

$$\Delta a_j = -\eta \frac{\partial E}{\partial a_i} = \eta e_i T_j \tag{15}$$

$$a_{j}(k+1) = a_{j}(k) + \Delta a_{j}(k)$$
 (16)

$$\Delta b_j = -\eta \frac{\partial E}{\partial b_i} = \eta e_i T_j \tag{17}$$

$$b_i(k+1) = b_i(k) + \Delta b_i(k)$$
 (18)

其中:学习率 $0 < \eta < 1, k$ 为学习(训练)的次数。

2.2 衍生算法的实现

衍生算法能使 Fourier 神经网络在最佳的网络拓扑结构下 对图像复原,其算法如下:

- a)取隐层神经元个数 n=1:
- b) 初始化权值,按式(13)(14)计算当前实际误差 E:
- c) 若 $E > \varepsilon$, 则 n = n + 2; 且跳转到 b); 若 $E \leq \varepsilon$, 停止训练, 此时 Fourier 神经网络最佳拓扑结构已自动生成。

实验及结果 3

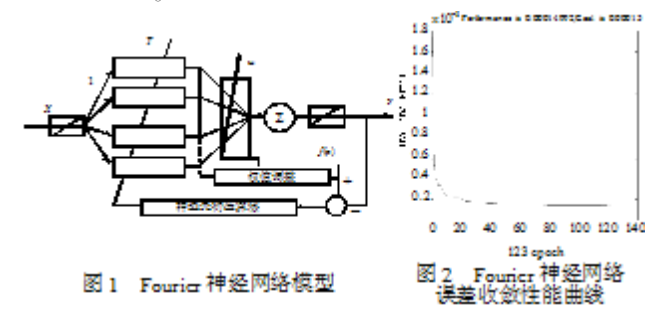
本文中利用 Lena 对已训练好的 Fourier 神经网络进行仿 真测试,并将本文中的图像复原算法与 L-M 优化的 BP 算法及 文献[2.3]中的图像复原算法进行比较。在对图像进行训练 时,首先要将其进行初始化操作,本文中图像大小为256×256 像素,图像的灰度值标准化为-11的范围。训练时,将模糊图 像的像素值作为训练样本,与之相对应的原始清晰图像作为训 练目标值。训练结束后保存训练好的权值,用测试图像 Lena 对训练好的 Fourier 神经网络进行检测。

为了将 L-M 优化的 BP 算法以及文献[2,3]中图像复原算 法与本文中提到的利用 Fourier 神经网络及其衍生算法的图像 复原进行比较,本文中利用峰值信噪比对不同的复原图像进行 质量评价,即

$$PSNR = 10 \log \left[\begin{array}{c} \frac{255^2 \times M \times N}{M \times N} \\ \sum_{i} \sum_{j} \left[f(i,j) - f(i,j) \right]^2 \end{array} \right]$$
 (19)

PSNR 的值越大,说明复原图像效果越好。

图 2 是 Fourier 神经网络的收敛曲线,图中隐层神经元数 为19。由图2可以看出,在经过123次训练以后,误差达到了 0.000 149 92



由于隐层神经元个数对神经网络的性能有着重要的作用, 图 2 中误差收敛曲线不一定就是 Fourier 神经网络处于最佳网 络拓扑结构下的收敛图,因此利用衍生算法确定 Fourier 神经 网络的隐层神经元个数多少时,网络的性能处于最佳的状态, 即 Fourier 神经网络的最佳网络拓扑结构。实验中, 先将隐层 神经元个数初始化为1,每运行一次,增加2个神经元,达到设 定误差时的神经个数就是网络处于最佳状态时的隐层神经元 数目,其衍生曲线如图3所示。

由图 3 可以看出, Fourier 神经网络在衍生 5 次(即隐层神 经元个数 11 时达到设定的误差,收敛误差为 0.00014684。因 此由图 3 得到了 Fourier 神经网络的最佳拓扑结构。图 4 为其 在最佳拓扑结构下的收敛曲线(即选取隐层神经数为11时的 收敛曲线)。由图 4 可以得出,网络处于最佳拓扑结构下时, 能达到更高的收敛精度。

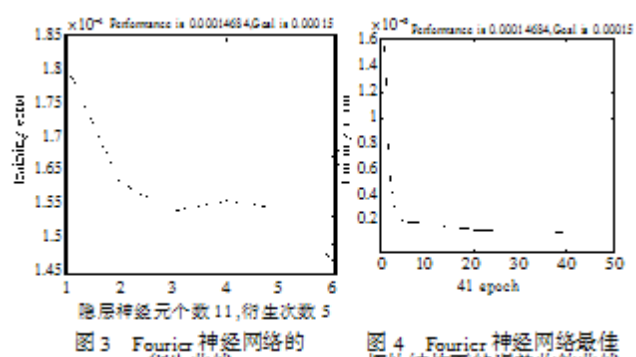


图 5 列出了 Fourier 神经网络及其衍生算法的 Lena 复原图,并与 L-M 优化的 BP 神经网络及文献[2,3]的图像复原图进行比较。



图 5 不同算法的复原图

为了更好地说明 Fourier 神经网络及其衍生算法的性能及图像复原效果,将其与 L-M 优化的 BP 算法及文献[2,3]中图像复原算法的复原效果图的 PSNR 值列于表 1。

表 1 不同算法的 PSNR 值比较

结果	图像					
	图 5(b)	图 5(c)	图 5(d)	图 5(e)	图 5(f)	图 5(g)
PSNR	21.0846	31.1309	30.5687	29.6414	33.3619	33.4521

从表 1 中可以看出,基于 Fourier 神经网络及其衍生算法的 PSNR 值大于 L-M 优化的 BP 神经网络及文献[2,3]中算法的 PSNR 值。说明 Fourier 神经网络及其衍生算法具有较好的复原效果。

4 结束语

Fourier 神经网络隐层神经元的激励函数为一组 Fourier 正

(上接第1129页) MDP 模型图像分割算法对于高噪声图像和有偏场的 MR 图像的分割效果都是十分理想的。同时通过定性分析 Dice 相似性系数结果,显示本文算法是鲁棒的,并且分割结果准确性高,适合于临床应用。

参考文献:

- [1] HARALICK R M, SHAPIRO L G. Image segmentation techniques [J]. Comput Vis Graph Image Proc, 1985, 29(1):100-132.
- [2] LIANG Z. Tissue classification and segmentation of MR images [J].
 IEEE Eng Med Biol, 1993, 12(1):81-85.
- [3] MERHAV N. The estimation of the model order in exponential families [J]. IEEE Trans on Information Theory, 1989, 35(5):1109-1114.
- [4] PHAM D L, XU C, PRINCE J L. An adaptive fuzzy C-means algorithm for image segmentation in the presence of intensity inhomogeneities[J]. Pattern Recognition Letters, 1999, 30(1):57-68.
- [5] WELLS W M, GRIMSON W E L, KIKINS R, et al. Adaptive segmentation of MRI data [J]. IEEE Trans on Medical Imaging, 1996, 15 (4):429-442.
- [6] LANGAN D A, MODESTINO J W, ZHANG J. Cluster validation for unsupervised stochastic model-based image segmentation [J]. IEEE Trans on Image Processing, 1998, 7(2):180-195.
- [7] WON C S, DERIN H. Unsupervised segmentation of noisy and textured images using Markov random fields [J]. CVGIP: Graph Models Image Process, 1992, 54(4):308-328.

交三角基函数,能够自适应调整模型结构,且具有良好的非线性 逼近能力。本文通过实验得出了将 Fourier 神经网络及相应衍 生算法的复原图像,与其他算法进行相比,其具有较好的效果。

参考文献:

- [1] 杨勇杰,运动模糊图像恢复方法[D],杭州:浙江大学,2010.
- [2] WU Y D, SUN Y, ZHANG H Y, et al. Variational PDE based image restoration using neural network[J]. IET Image Processing, 2007, 1(1):85-93.
- [3] GAN X, LIEW A W C, YAN H. A POCS-based constrained total least squares algorithm for image restoration [J]. Journal of Visual Communication and Image Representation, 2006, 17(5):986-1003.
- [4] 邹阿金,张雨浓.基函数神经网络及应用[M].广州:中山大学出版社,2009.
- [5] 吴小俊,王士同,杨静宇.基于正交多项式函数的神经网络及其性质研究[J]. 计算机工程与应用,2002,38(9):25-26.
- [6] 张雨浓,旷章辉,肖秀春,等. Fourier 三角基神经元网络的权值直接确定法[J]. 计算机工程与科学,2009,31(5):112-115.
- [7] HALAWA K. Determining the weights of a Fourier series neural network on the basis of the multidimensional discrete Fourier transform [J]. International Journal of Applied Mathematics and Computer Science, 2008, 18(3):369-375.
- [8] ZUO Wei, ZHU Yang, CAI Li-long. Fourier-neural-network-based learning control for a class of nonlinear systems with flexible components[J]. IEEE Trans on Neural Networks, 2009, 20(1):139-151.
- [9] TAN Hs. Fourier neural networks and generalized single hidden layer networks in aircraft engine fault diagnostics [J]. Journal of Engineering for Gas Turbines and Power, 2006,128(4):773-782.
- [10] 张雨浓,曾庆淡,肖秀春,等.复指数 Fourier 神经元网络隐神经元 衍生算法[J]. 计算机应用,2008,28(10):2504-2510.
- [8] BLEI D M. Probabilistic models for text and images [D]. Berkeley; UC Berkeley, 2004.
- [9] MCAULIFFE J D, BLEI D M. Nonparametric empirical Bayes for the Dirichlet process mixture model [R]. Berkeley; UC Berkeley, 2004.
- [10] ANTONIAK C E. Mixtures of Dirichlet processes with applications to Bayesian nonparametric estimation [J]. Annals of Statistics, 1974, 2(6):1152-1174.
- [11] DIACONIS P, YLVISAKER D. Conjugate priors for exponential families [J]. Annals of Statistics,1979,7(2):269-281.
- [12] FERGUSON T S. A Bayesian analysis of some nonparametric problems [J]. Annals of Statistics, 1973, 1(2):209-230.
- [13] STYNER M, BRECHBUHLER C, SZCKELY G. Parametric estimate of intensity inhomogeneities applied to MRI [J]. IEEE Trans on Medical Imaging, 2000, 19(3): 153-165.
- [14] HARDIE R C, BARNARD K J, ARMSTRONG E E. Joint MAP registration and high-resolution image estimation using a sequence of under sampled images [J]. IEEE Trans on Image Processing, 1997,6(12):1621-1633.
- [15] WANG Wen-hui, FENG Qian-jin, LIU Lei, et al. Segmentation of brain MR images through class-adaptive Gauss-Markov random field model and the EM algorithm[J]. Journal of Image and Graphics, 2008,13(3):488-493.
- [16] FENG Qian-jin , QIN An , CHEN Wu-fan. SIFT and population statistics based segmentation of CT prostate image [J] . Journal of Image and Graphics , 2010 , 15 (6) :873-878.